

材料力学笔记

第1章 绪论

材料力学的任务

结构物或机器均由若干**零部件**组装而成。为了力学分析，分离出来的零部件称为**构件**。

构件按几何形状可分为：**杆、板、壳、块体**四大类。

材料力学的研究对象：**杆类构件**

杆的两个几何要素 { 轴线：各横截面形心的连线。
横截面：垂直于轴线的截面。

根据杆的轴线和横截面特点，杆可以分为 { 直杆：轴线为直线的杆。
曲杆：轴线为曲线的杆。
等直杆：横截面形状尺寸不变的直杆。
变截面杆：横截面大小不等的杆。

构件工作时受到载荷作用，会发生形状和尺寸上的改变，称为**变形**。

设计不合理或选用材料不合适，会使构件发生**过度变形或破坏**，从而**失去承载能力**。

承载能力包括三个主要方面 { 强度：抵抗破坏(断裂或显著的永久变形)的能力。
刚度：抵抗变形的能力。
稳定性：保持原有平衡形式的能力。

材料力学是研究杆类构件承载能力的一门科学。

材料力学的主要任务：在**安全**和**经济**前提下，对构件进行材料和截面的设计。

变形固体的概念

力学是研究力对物体作用效应的科学。

外效应：引起物体运动状态改变。

内效应：引起物体变形。

变形：构件受力后，其形状或尺寸所发生的改变。

弹性变形：卸载时能够完全恢复的变形。

塑性变形：卸载时变形部分消失，残留下来的一部分永久变形。

变形固体的基本假设

均匀性假设：物体由同一均匀材料组成，各点的力学性质相同。

连续性假设：物质毫无间隙地充满整个几何空间，物理量是连续函数。

各向同性假设：各个方向具有相同性质，力学性质不随方向而发生改变。
小变形假设：构件在外力作用下发生的变形，相对于构件尺寸而言非常小。

内力和应力

外力：作用在构件上的所有载荷和支座反力。

外力按形式可以分为

集中力

集中力偶

分布力

分布力偶

外力按性质可以分为

静载荷：载荷由零缓慢增加，到达某值后保持不变。

冲击载荷：在短时间内以很大速度作用在构件上的载荷。

交变载荷：随时间发生周期变化的载荷。

内力：在外力作用下，构件内各质点的相应位置发生了变化，从而引起的各部分间相互作用力的改变量，又称“附加内力”。
内力随外力的增加而增加，直至构件发生破坏。
截面法是显示内力、确定内力的一种方法。（结果为合力或合力偶矩）

截面法步骤

(1)一截为二

(2)去一留一

(3)平衡求解

问题：电线杆为什么上细下粗？
应力：内力分布的集度。
全应力与dF方向一致。

$$p = \frac{dF}{dA}$$

一般分解为正应力（垂直于截面的应力）和切应力（平行于截面的应力）。

$$\sigma = \frac{dF_N}{dA}, \tau = \frac{dF_S}{dA}$$

单位为Pa。
单元体很小，可以认为：
各个面上的应力均匀分布。
相互平行的面上应力大小和方向相同。
切应力互等定理：在单元体互相垂直的截面上，垂直于截面交线的切应力大小相等，而方向均指向或背离此交线。

$$\tau = \tau'$$

位移、变形与应变

变形位移 $\begin{cases} \text{线位移} \\ \text{角位移} \end{cases}$

应变 $\begin{cases} \text{线应变: 线段相对的变形量 } \epsilon_x = \frac{du}{dx} \\ \text{角应变: 直角的改变量 } \gamma \end{cases}$

胡克定律

$$\sigma = E\epsilon, \quad \tau = G\gamma$$

E - - 弹性模量, G - - 切变模量

杆件变形的基本形式

$\begin{cases} \text{拉伸与压缩} \\ \text{扭转} \\ \text{弯曲} \\ \text{剪切} \end{cases}$

第2章 轴向拉伸与压缩

概述

受力特点: 外力的合力与杆的轴线重合。

变形特点: 沿轴线伸长或缩短。

轴向拉压的内力、应力与强度条件

直杆横截面上的内力

截面法 设正法

轴力的符号规则: 当轴力 F_N 的方向与轴面外法线方向一致, 轴力为正, 此时杆件受拉; 反之则为负, 杆件受压。

直杆横截面上的应力

平截面假设: 变形前横截面内各点, 变形后仍在同一平面内。

$$\sigma = \frac{F_N}{A}$$

$F_N > 0, \sigma > 0$ 拉应力

$F_N < 0, \sigma < 0$ 压应力

圣维南原理: 在静力等效的条件下, 不同的加载方式只对加载处附近区域的应力分布有影响, 而在离加载处较远的区域, 其应力分布没有显著的区别。

拉压强度条件

极限应力 σ^0 ：使材料发生破坏的最小应力。

为使构件能够正常工作，其工作应力应小于材料的极限应力。

$$\sigma = \frac{F_N}{A} \leq \frac{\sigma^0}{n} = [\sigma]$$

式中， n 为安全因数， $[\sigma]$ 为许用应力。

安全因数的引入，使构件具有安全储备。

$$\begin{array}{l} \text{强度条件的应用} \left\{ \begin{array}{ll} \text{强度校核} & \text{定性} \\ \text{设计截面面积} & \text{定型} \\ \text{确定许可载荷} & \text{定载} \end{array} \right. \\ \text{公式适用范围} \left\{ \begin{array}{l} \text{截面突跳处不适用。} \\ \text{集中力作用处不适用。} \\ \text{可推广适用于微曲杆。} \end{array} \right. \end{array}$$

拉压直杆斜截面上的应力

$$p_\alpha = \frac{F_{N\alpha}}{A_\alpha} = \frac{F}{A} \cos \alpha = \sigma \cos \alpha$$

式中： A 为杆的横截面面积， σ 为杆横截面上的正应力。将 p_α 分解为垂直于斜截面的正应力 σ_α 和平行于斜截面的切应力 τ_α 。

轴向拉压的变形

轴向变形

$$\Delta l = l_1 - l$$

拉压胡克定律：

$$\Delta l = \frac{F_N l}{EA}$$

式中： E 称为材料**拉压弹性模量**（简称为**弹性模量**或**杨氏模量**），其单位为MPa或GPa，数值随材料而异，并由试验确定； EA 称为杆的截面**抗拉压刚度**。

$$\epsilon = \frac{\Delta l}{l} = \frac{F_N}{EA} = \frac{\sigma}{E}$$
$$\sigma = E\epsilon$$

横向变形

$$\Delta b = b_1 - b$$

$$\epsilon' = \frac{\Delta b}{b}$$

$$\frac{\epsilon'}{\epsilon} = -\mu$$

$$\epsilon' = -\mu\epsilon$$

式中， μ 称为泊松比（或横向变形系数）。

刚度条件

$$\Delta l = \frac{F_N l}{EA} \leq [\Delta l]$$

式中， $[\Delta l]$ 称为许可变形。

一般认为该条件自然满足。

点的位移向杆做投影为杆的变形量。

材料拉压的力学性质

拉压超静定问题

静定结构：所有未知力均能由静力平衡方程确定的结构。

超静定结构或静不定结构：仅仅通过平衡方程不能求得所有未知力的结构。

多余约束：维持平衡所不需要的约束。

超静定次数：未知力数与独立平衡方程数的差。

补充方程往往是几何方程，或称变形协调方程。

（解除多余约束，以约束反力替代。）

超静定结构特点

$$\text{求解内力} \begin{cases} \text{平衡方程} \\ \text{几何方程} \\ \text{物理方程} \end{cases}$$

内力与刚度有关，刚度越大，内力越大；若刚度增加，内力增加。

变形状态可以任意假设（设正法）。

装配误差、温度变化会使超静定结构产生内力，进而产生应力，称为装配应力、温度应力。



Tip

切线替代圆弧。

第3章 扭转

特征 $\left\{ \begin{array}{l} \text{构件多为圆截面等直杆} \\ \text{外力偶的矢量方向与杆轴线平行} \\ \text{横截面之间绕杆轴线产生相对角位移} \end{array} \right.$

- 扭转角：横截面之间的相对角位移。
- 轴：以扭转变形为主的杆件。
外力偶矩：转矩 M_e
功率单位为千瓦，转速为 $n(\text{rad}/\text{min})$ 则

$$M_e = 9549 \frac{P}{n} (\text{N} \cdot \text{m})$$

内力偶矩：扭矩 T

- 符号规则：按右手螺旋法则，扭矩 T 的矢量方向与横截面外法线方向一致时为正。反之，则为负。

圆轴扭转的应力

- 平截面假设：圆杆的横截面变形后仍保持为平面。
几何条件

$$\gamma dx = d\varphi R$$

$$\gamma_\rho dx = \rho d\varphi$$

物理条件

$$\tau_\rho = G\gamma_\rho = G\rho \frac{d\varphi}{dx}$$

平衡条件

$$\begin{aligned} dT &= \tau_\rho dA \times \rho \\ T &= \int dT = \int_A \tau_\rho dA \times \rho \\ &= \int_A G \times \rho^2 \times \frac{d\varphi}{dx} \times dA \\ &= G \frac{d\varphi}{dx} \int_A \rho^2 dA \\ &= G \frac{d\varphi}{dx} I_p \end{aligned}$$

单位长度扭转角

$$\Phi = \frac{d\varphi}{dx} = \frac{T}{GI_p}$$

$$\tau_{\rho} = \frac{T}{I_p} \rho$$

极惯性矩

$$I_p = \int_A \rho^2 dA = \int_{\rho} 2\pi\rho^3 d\rho$$

当 ρ 等于横截面半径 R 时（即圆截面边缘各点），切应力将达到最大值，即

$$\tau_{max} = \frac{TR}{I_p} = \frac{T}{W_p}$$

式中： W_p 称为抗扭截面系数

$$W_p = \frac{I_p}{R}$$

设圆轴内、外径分别为 d 、 D ，计算

$$I_p = \int_A \rho^2 dA = \int_{d/2}^{D/2} 2\pi\rho^3 d\rho = \frac{\pi}{32} (D^4 - d^4) = \frac{\pi D^4}{32} (1 - \alpha^4)$$

$$W_p = \frac{I_p}{R} = \frac{\pi D^3}{16} (1 - \alpha^4)$$

其中， $\alpha = d/D$ 。 I_p 的量纲是长度的四次方， W_p 的量纲是长度的三次方。

圆轴扭转的强度条件

- 扭转强度条件

$$\tau_{max} = \frac{T}{W_p} \leq [\tau] = \frac{\tau^0}{n}$$

$$\text{应用} \begin{cases} \text{校核强度} & \text{定性} \\ \text{设计截面} & \text{定形} \\ \text{确定许可载荷} & \text{定载} \end{cases}$$

$$\text{适用条件} \begin{cases} \text{适用于圆截面直杆} \\ \text{变截面杆截面突跳处不适用} \\ \text{材料处在线弹性范围内} \end{cases}$$

圆轴扭转的变形和刚度条件

$$\frac{d\varphi}{dx} = \frac{T}{GI_p}$$

$$\varphi = \int d\varphi = \int_l \frac{T}{GI_p} dx$$

单位为弧度，式中 GI_p 为抗扭刚度。

两端作用力偶的等直轴

$$\varphi = \frac{Tl}{GI_p}(\text{rad}), \quad \varphi = \frac{Tl}{GI_p} \times \frac{180^\circ}{\pi}(\circ)$$

单位长度扭转角

$$\Phi = \frac{d\varphi}{dx} = \frac{T}{GI_p} \times \frac{180^\circ}{\pi}(\circ/m)$$

刚度条件

$$\Phi = \frac{d\varphi}{dx} = \frac{T}{GI_p} \cdot \frac{180^\circ}{\pi} \leq [\Phi]$$

$$\text{许用单位长度扭转角} [\Phi] \begin{cases} 0.25 - 0.5^\circ/m & \text{精密轴} \\ 0.50 - 1.0^\circ/m & \text{一般轴} \\ 1.0 - 3.0^\circ/m & \text{粗糙轴} \end{cases}$$

⚠ Caution

对于受扭构件，强度条件和刚度条件同等重要。

第4章 弯曲内力

概述

- 受力特点：力偶或外力作用垂直于轴线。
- 变形特点：杆件的轴线由直线变为曲线。
以弯曲为主要变形的杆称之为梁。

$$\text{支座形式} \begin{cases} \text{固定铰支座} \\ \text{活动铰支座} \\ \text{固定端} \end{cases}$$

静定梁：支座反力可以由静力平衡方程直接确定的梁。

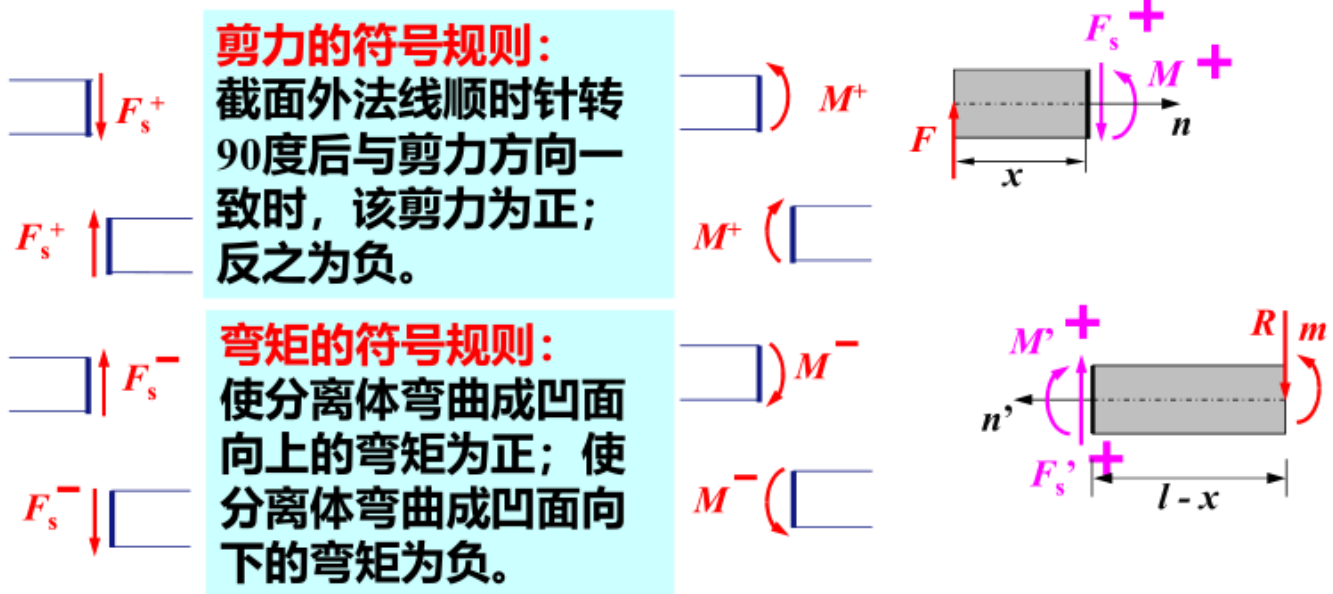
$$\text{静定梁形式} \begin{cases} \text{简支梁：一端固定铰支座、另一端可动铰支座的梁。} \\ \text{外伸梁：具有一个或两个外伸部分的简支梁。} \\ \text{悬臂梁：一端固定、另一端自由的梁。} \end{cases}$$

超静定梁：梁上的支反力数目超过平衡方程个数，仅靠平衡方程不能求解。

梁的剪力与弯矩、剪力图与弯矩图

内力 F_s 称为剪力，内力偶矩 M 称为弯矩。

- 剪力符号规则：剪力与外法线顺时针向旋转 90° 方向相同时为正，反之为负。
- 弯矩符号规则：使分离体弯曲成凹面向上的弯矩为正，反之为负。



力区：能用一个方程来表达内力的变化规律的区间。

规律 {

- 剪力图突跳处对应集中力
- 剪力图斜率对应均布力大小
- 弯矩图斜率对应剪力图中剪力大小
- 弯矩图突跳处对应集中力偶

弯矩、剪力与载荷之间的微分 - 积分关系

微分关系

$$\frac{dF_s(x)}{dx} = q(x)$$

$$\frac{dM(x)}{dx} = F_s(x)$$

$$\frac{d^2M(x)}{dx^2} = \frac{dF_s(x)}{dx} = q(x)$$

- 几何意义：剪力图某处的斜率等于该处分布力的大小；弯矩图某处的斜率等于该处剪力的大小；剪力为零处的弯矩有极值。

积分关系

$$\int_{F_{s1}}^{F_{s2}} dF_s(x) = \int_{x_1}^{x_2} q(x)dx$$

$$\int_{M_1}^{M_2} dM(x) = \int_{x_1}^{x_2} F_s(x) dx$$

- 几何意义：任意两截面的剪力差等于两截面间分布力所包围的面积；任意两截面的弯矩差等于两截面间剪力图所包围的面积。

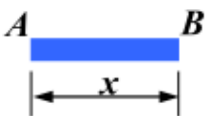
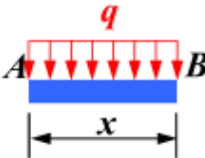
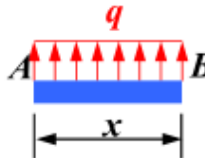
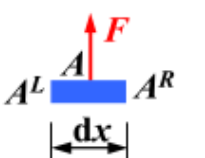
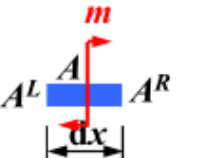
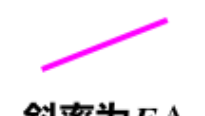
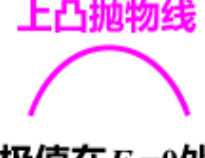



突跳关系

$$F_s^R(x) = F + F_s^L(x)$$

$$M^R(x) = M + M^L(x)$$

- 几何意义：集中力作用处剪力图突跳该力的大小，突跳方向与集中力的方向一致；集中力偶作用处的弯矩图突跳该力偶的大小，且顺时针力偶向上突跳。

常见载荷下剪力图、弯矩图的特征

载荷	无载荷	均布力(-)	均布力(+)	集中力(+)	集中力偶(顺)
F_s 图	 <p>水平线</p> <p>斜率为0</p> $F_s^A = F_s^B$	 <p>下斜直线</p> <p>斜率为$-q$</p> $F_s^A - qx = F_s^B$	 <p>上斜直线</p> <p>斜率为q</p> $F_s^A + qx = F_s^B$	 <p>突跳</p> <p>正F向上突跳</p> $F_s^{AL} + F = F_s^{AR}$	 <p>无变化</p> <p>连续</p> $F_s^{AL} = F_s^{AR}$
M 图	 <p>斜直线</p> <p>斜率为F_s^A</p> $M^A + F_s^A x = M^B$	 <p>上凸抛物线</p> <p>极值在$F_s=0$处</p> $M^A + S(F_s) = M^B$	 <p>下凸抛物线</p> <p>极值在$F_s=0$处</p> $M^A + S(F_s) = M^B$	 <p>有拐点</p> <p>连续</p> $M^{AL} = M^{AR}$	 <p>突跳</p> <p>顺m向上突跳</p> $M^{AL} + m = M^{AR}$

对称结构

- 对称结构受反对称载荷时，剪力图正对称，弯矩图反对称。
- 对称结构受正对称载荷时，剪力图反对称，弯矩图正对称。
- 反对称轴通过的截面弯矩为零，正对称轴通过的截面剪力为零。

刚架与曲杆的弯曲内力

- 轴线为平面折线或平面曲线的杆件称为平面刚架和平面曲杆，简称为刚架和曲杆。
- 若载荷也作用于该平面，刚架和曲杆中的内力有：弯矩 M 、剪力 F_s 和轴力 F_N 。
- 刚架和曲杆内力的符号规则：
 M ：凹面向外为正；
 F_s ：截面外法线方向顺时针转90度后一致为正；
 F_N ：截面外法线方向一致为正。

第5章 弯曲应力

概述

- 研究范围：平面弯曲下的直梁
- 平面弯曲：梁的横截面具有纵向对称轴，所有对称轴组成纵向对称平面，外载荷作用在纵向对称平面内，梁的轴线在纵向对称平面内弯曲成一条平面曲线。
- 剪切弯曲：既有弯矩又有剪力，同时发生弯曲变形和剪切变形。
- 纯弯曲：只有弯矩没有剪力，只发生弯曲变形。

弯曲正应力

平截面假设：横截面在弯曲变形后仍然保持平面。

推理 $\left\{ \begin{array}{l} \text{横截面上无切应力} \\ \text{横截面上存在正应力} \\ \text{既不伸长也不缩短的那一层称为中性层} \end{array} \right.$

- 中性轴：中性层与横截面的交线。

$$\epsilon = \frac{(\rho + y)d\theta - \rho d\theta}{\rho d\theta} = \frac{y}{\rho}$$

$$\sigma = E\epsilon = E \frac{y}{\rho}$$

横截面上的微内力组成一个与横截面垂直的空间平行力系，此力系可等效为三个内力分量

- 平行于 x 轴的合力

$$F = \int_A \sigma dA = 0$$

中性轴 z 通过截面形心。

- 对 y 轴的合力偶矩

$$m_y = \int_A z \sigma dA = 0$$

yz 轴为形心主惯轴。

- 对 z 轴的合力偶矩

$$m_z = \int_A y \sigma dA = M$$

$$\frac{1}{\rho} = \frac{M}{EI_z}$$

$$\sigma = \frac{M}{I_z} y$$

- 适用条件:

1. 在线弹性范围;
2. 拉伸区与压缩区的 E 相等;
3. 梁发生的是平面弯曲;
4. 剪切弯曲可推广使用。

弯曲正应力强度计算

最大应力

$$\sigma_{max}^+ = \frac{M}{I_z} y_{max}^+ = \frac{M}{W_z^+}$$

$$\sigma_{max}^- = \frac{M}{I_z} y_{max}^- = \frac{M}{W_z^-}$$

其中, W_z^+ 、 W_z^- 为抗弯截面模量。

弯曲正应力强度条件

$$\sigma_{max}^+ = \frac{M}{W_z^+} \leq [\sigma^+]$$

$$\sigma_{max}^- = \frac{M}{W_z^-} \leq [\sigma^-]$$

梁弯曲正应力强度的计算步骤

1. 梁的外力分析, 确定约束力;
2. 梁的内力分析, 作弯矩图, 确定危险截面;
3. 在危险截面上确定危险点, 确定拉伸区和压缩区, 确定抗弯截面模量;
4. 确定危险点的正应力, 代入正应力强度条件里进行检验。

- 弯矩图画在受压一侧。
- 最大拉压应力应校核最大正弯矩和最大负弯矩。

弯曲切应力及其强度条件

- 翘曲：剪切弯曲时，横截面不再保持为平面，而发生翘曲。

矩形截面梁的切应力

- 假设所有的 τ 都平行于 y 。
- 假设同一高度 y 处 τ 相等。

$$dF'_s = \tau' b dx = \tau b dx$$

$$F_{N2} = \int_{A^*} \sigma dA = \int_{A^*} \frac{M + dM}{I_z} y^* dA = \frac{M + dM}{I_z} S_z^*$$

$$F_{N1} = \frac{M}{I_z} S_z^*$$

$$\sum F_x = 0$$

$$F_{N2} - F_{N1} = dF'_s$$

$$\tau = \frac{dM}{dx} \frac{S_z^*}{b I_z}$$

$$\frac{dM}{dx} = F_s$$

$$\tau = \frac{F_s S_z^*}{b I_z}$$

对于矩形横截面

$$\tau = \frac{6F_s}{bh^3} \left(\frac{h^2}{4} - y^2 \right)$$

$$\tau_{max} = \frac{3F_s}{2bh}$$

其它常用截面梁的弯曲切应力

工字型截面

- 腹板上：

$$\tau = \frac{F_s S_z^*}{d I_z}$$

沿高度按平坦抛物线分布。

- 翼缘上：分布较复杂，一般较小，可忽略。

$$\tau_{max} = \frac{F_s S_{zmax}^*}{d I_z} = \frac{F_s}{d(I_z / S_{zmax}^*)} = \frac{F_s}{A'}$$

$$A' = d(h - 2t)$$

式中, d 、 A' 分别为腹板宽度与面积。

圆截面梁

- AB 两点: 切应力方向与圆周相切。
- AB 弦上各点: 切应力的垂直分量 τ_y 都相等, 作用线相交于 p 点。
- AB 弦中点: 切应力的方向沿铅垂。

$$\tau_y = \frac{F_s S_z^*}{b_{AB} I_z}$$

- 最大切应力在中性轴上。

$$S_{zmax}^* = \frac{2R^3}{3}$$

$$\tau = \frac{4F_s}{3A}$$

薄壁圆环截面梁

- 切应力沿壁厚均匀分布。
- 任意一点的切应力方向与圆周相切。

$$\tau_y = \frac{F_s S_z^*}{2t I_z}$$

- 最大切应力在中性轴上。

$$S_{zmax}^* = \frac{2(R + t/2)^3}{3} - \frac{2(R - t/2)^3}{3} = 2R^2 t$$

$$I_z = \frac{\pi(R + t/2)^4}{4} - \frac{\pi(R - t/2)^4}{4} = \pi R^3 t$$

$$\tau_{max} = \frac{F_s}{\pi R t} = 2 \frac{F_s}{A}$$

$$A = 2\pi R t$$

切应力强度条件

- 一般细长梁受弯曲变形, 只校核正应力强度条件, 切应力可以忽略。

- 其他受弯曲变形的构件，一般采用正应力强度条件进行设计，再采用切应力强度条件进行校核。
- 少数特殊的梁，需要先采用切应力强度条件进行设计，再采用正应力强度条件进行校核。
不能忽略切应力的梁，如：

1. 木梁、焊接梁、粘接梁；
2. 粗短梁；
3. 有较大集中力作用在支座附近。

提高弯曲强度的措施

- 等强度梁：梁所有截面上的最大正应力均相等，都等于许用应力 $[\sigma]$ 。
- 如：阶梯轴、钻床横臂、空心鱼腹梁、吊兰叶

Note

弯矩产生正应力，剪力产生切应力。

第6章 弯曲变形

概述

- 挠度：截面形心的竖向线位移，用 ν 表示；
- 转角：横截面绕中性轴转过的角度，用 θ 表示。

- $$\theta = \tan \theta = \frac{d\nu}{dx} = \nu'(x)$$

- 纯弯曲正应力公式推导时得：

$$\frac{1}{\rho(x)} = \frac{M(x)}{EI_z}$$

$$\frac{1}{\rho} = \frac{\nu''}{(1 + \nu'^2)^{3/2}} = \nu''$$

$$\nu''(x) = \theta'(x) = \frac{M(x)}{EI_z} = \frac{1}{\rho(x)}$$

- 公式的适用条件：

1. 材料在线弹性范围内；
2. 小变形；

3. 忽略剪力对挠度的影响。

直接积分法

$$EI_z \theta(x) = \int M(x) dx + C$$

$$EI_z \nu(x) = \iint M(x) dx dx + Cx + D$$

查表叠加法

- 变形是载荷的线性函数。
- 叠加法：当梁上有多个载荷同时作用时，总的变形等于每个载荷单独作用时变形之和。

逐段刚化法

- 可用于变截面梁和刚架。

微段积分法

等效载荷法

构造载荷法

正对称 + 反对称

梁的刚度条件和提高弯曲刚度的措施

$$\nu_{max} \leq [\nu]$$

许用挠度

$$\theta_{max} \leq [\theta]$$

许用转角

变形比较法求解超静定梁

1. 接触约束
2. 几何方程
3. 物理方程
4. 补充方程
5. 解得

解除哪点的约束，就在哪点列几何方程。

外伸梁 = 简支梁 + 悬臂梁 (逐段刚化法)

第7章 应力状态分析

应力状态的概念

- 应力状态：通过同一点不同方位截面上的应力的集合，称为该点的应力状态。
- 单元体：应力可以用无限小正六面体表示，称为单元体。
- 单元体很小，可以认为：

1. 各个面上的应力均匀分布。
2. 相互平行的平面上，应力大小和性质完全相同。

- 应力状态的分类 $\begin{cases} \text{单向应力状态：某两对面上的应力为零} \\ \text{平面应力状态：某一对面上的应力为零} \\ \text{三向应力状态：各对面上的应力均不为零} \end{cases}$

二向应力状态分析 - 公式解析法

$$\sigma_{\alpha} = \frac{\sigma_x + \sigma_y}{2} + \frac{\sigma_x - \sigma_y}{2} \cos 2\alpha - \tau_x \sin 2\alpha$$
$$\tau_{\alpha} = \frac{\sigma_x - \sigma_y}{2} \sin 2\alpha + \tau_x \cos 2\alpha$$

最大和最小正应力

$$\alpha_0 = \frac{1}{2} \arctan \frac{-2\tau_x}{\sigma_x - \sigma_y}$$
$$\sigma_{max} = \frac{\sigma_x + \sigma_y}{2} + \sqrt{\left(\frac{\sigma_x - \sigma_y}{2}\right)^2 + \tau_x^2}$$
$$\sigma_{min} = \frac{\sigma_x + \sigma_y}{2} - \sqrt{\left(\frac{\sigma_x - \sigma_y}{2}\right)^2 + \tau_x^2}$$

此时， $\tau_{\alpha_0} = 0$ 。

最大和最小切应力

$$\alpha_1 = \frac{1}{2} \arctan \frac{\sigma_x - \sigma_y}{2\tau_x}$$
$$\tau_{max} = \sqrt{\left(\frac{\sigma_x - \sigma_y}{2}\right)^2 + \tau_x^2}$$

$$\tau_{min} = -\sqrt{\left(\frac{\sigma_x - \sigma_y}{2}\right)^2 + \tau_x^2}$$

极值切应力平面与极值正应力平面

$$\alpha_1 = \alpha_0 \pm 45^\circ$$

$$\sigma_{\alpha+90^\circ} + \sigma_\alpha = \sigma_x + \sigma_y$$

$$\tau_{\alpha+90^\circ} = -\tau_\alpha$$

- 主应力：极值正应力。
- 主平面：主应力所在截面，此平面上的切应力必为零。
- 主单元体：单元体的三对面均为主平面。

二向应力状态分析 - 图解解析法

- 应力圆：
圆心C

$$C\left(\frac{\sigma_x + \sigma_y}{2}, 0\right)$$

半径

$$R = \sqrt{\left(\frac{\sigma_x - \sigma_y}{2}\right)^2 + \tau_x^2}$$

- 画应力圆的步骤：
 1. 根据三个已知应力的大小，建立 $\sigma - \tau$ 坐标系；
 2. 在 $\sigma - \tau$ 坐标系中，确定 x 、 y 面对应的两点 D_x 、 D_y ；（找相互垂直的面）
 3. 连接两点 D_x 、 D_y ，交横轴得圆心C点；
 4. 以C点为圆心，以 CD_x 为半径画圆，即为应力圆。
- 从 D_x （或 D_y ）点出发，根据单元体 α 角的转向，沿圆周转动 2α 圆心角，得到 D_α 点，该点的坐标即为 α 截面上的应力。
- 应力圆与单元体的关系：点对应，转向一致，转角加倍。
- 极值正应力的截面上，切应力一定为零；极值切应力的截面上，正应力不一定为零，且两正应力大小相等，符号一致。
- 极值切应力的作用面与主平面间的夹角是 45° 。
- 互相垂直的截面上，切应力等值反向，正应力之和为常数。

典型的三向应力状态

- 应力状态的分类
 - 单向应力状态：非零主应力的个数为1
 - 平面应力状态：非零主应力的个数为2
 - 三向应力状态：非零主应力的个数为3
- 第一主应力 \geq 第二主应力 \geq 第三主应力

$$\sigma_1 \geq \sigma_2 \geq \sigma_3$$

- 以斜截面上应力为坐标的点，必位于两个小圆之外，大圆之内。
- 关于 x 和 y 轴对称就是纯剪切应力状态。

广义胡克定律

- 胡克定律

$$\epsilon_x = \frac{\sigma_x}{E}$$

- 泊松比：横向应变与纵向应变的比值（取正）
- 广义胡克定律（主单元体）

$$\epsilon_1 = \frac{1}{E}[\sigma_1 - \mu(\sigma_2 + \sigma_3)]$$

$$\epsilon_2 = \frac{1}{E}[\sigma_2 - \mu(\sigma_1 + \sigma_3)]$$

$$\epsilon_3 = \frac{1}{E}[\sigma_3 - \mu(\sigma_1 + \sigma_2)]$$

对于非主单元体，在小变形的前提下，切应力不影响单元体棱边的长度变化。

$$\sigma_\alpha + \sigma_{\alpha \pm 90^\circ} = \sigma_x + \sigma_y$$

- 体积应变

$$\theta = \frac{V_1 - V_0}{V_0} = \epsilon_x + \epsilon_y + \epsilon_z = \frac{1 - 2\mu}{E}(\sigma_x + \sigma_y + \sigma_z)$$

$$\theta = \frac{3(1 - 2\mu)}{E}\sigma_m = \frac{\sigma_m}{K}$$

式中， K 为体积弹性模量。

证明纯剪切应力状态下单元体的体积不变

 See also

拉剪应力状态（设正法）

$$\sigma_{45^\circ} = \frac{\sigma}{2} - \tau$$

$$\sigma_{-45^\circ} = \frac{\sigma}{2} + \tau$$

第8章 强度理论

宏观破坏现象 $\begin{cases} \text{塑性屈服(认为已经被破坏)} & \text{切应力} \\ \text{脆性断裂(脆性材料)} & \text{拉应力} \end{cases}$

- 对于金属材料，切应力导致晶格滑移，拉应力导致晶格断裂。（微观）

第一强度理论（最大拉应力理论）

- 材料发生脆性断裂的主要原因是最大拉应力。
- 在复杂应力状态下，只要最大拉应力 σ_1 达到了简单拉伸试验所确定的极限应力 σ_b 时，材料就会发生脆性断裂。
- 断裂判据

$$\sigma_1 = \sigma_b$$

- 强度条件

$$\sigma_1 \leq \frac{\sigma_b}{n} = [\sigma]$$

- 无法应用于只有压应力的情况。

第二强度理论（最大拉应变理论）

- 材料发生脆性断裂的主要原因是最大拉应变。
- 在复杂应力状态下，只要最大拉应变 ϵ_1 达到了简单拉伸试验所确定的极限应变 ϵ_b 时，材料就会发生脆性断裂。
- 断裂判据

$$\epsilon_1 = \epsilon_b$$

- 强度条件

$$\sigma_1 - \mu(\sigma_2 + \sigma_3) \leq \frac{\sigma_b}{n} = [\sigma]$$

第三强度理论（最大切应力理论）

- 材料发生塑性屈服的主要原因是最大切应力。

- 在复杂应力状态下，只要最大切应力 τ_{max} 达到了简单拉伸试验所确定的极限切应力 τ_s 时，材料就会发生塑性屈服。
- 屈服判据

$$\tau_{max} = \tau_s$$

- 强度条件

$$\sigma_1 - \sigma_3 \leq \frac{\sigma_s}{n} = [\sigma]$$

第四强度理论（均方根切应力理论）

- 材料发生塑性屈服的主要原因是均方根切应力。
- 在复杂应力状态下，只要均方根切应力 τ_m 达到了简单拉伸试验所确定的极限均方根切应力 τ_m^0 时，材料就会发生塑性屈服。
- 屈服判据

$$\tau_m = \tau_m^0$$

- 强度条件

$$\sqrt{\frac{1}{2}[(\sigma_1 - \sigma_2)^2 + (\sigma_2 - \sigma_3)^2 + (\sigma_1 - \sigma_3)^2]} \leq \frac{\sigma_s}{n} = [\sigma]$$

强度理论的应用

相当应力

$$\sigma_{r1} = \sigma_1$$

$$\sigma_{r2} = \sigma_1 - \mu(\sigma_2 + \sigma_3)$$

$$\sigma_{r3} = \sigma_1 - \sigma_3$$

$$\sigma_{r4} = \sqrt{\frac{1}{2}[(\sigma_1 - \sigma_2)^2 + (\sigma_2 - \sigma_3)^2 + (\sigma_1 - \sigma_3)^2]}$$

拉剪应力状态

$$\sigma_{r3} = \sqrt{\sigma_x^2 + 4\tau^2}$$

$$\sigma_{r4} = \sqrt{\sigma_x^2 + 3\tau^2}$$

压力容器

- 圆筒轴向应力

$$\sigma_x = \frac{pD}{4t}$$

环向应力

$$\sigma_t = \frac{pD}{2t}$$

第9章 组合变形

- 组合变形：杆件中同时有两种以上的基本变形。
- 求解方法：叠加法
- 研究对象：细长杆（剪力所产生的切应力可忽略）
- 步骤

1. 组合变形作外力分析，分解简化为基本变形。
2. 通过内力分析确定危险截面。
3. 通过应力分析确定危险点。
4. 通过应力状态分析确定主应力。
5. 根据强度理论确定相当应力。
6. 强度计算。

- 分类 {
 - 斜弯曲(两个相互垂直平面内的弯曲组合)
 - 拉伸或压缩与弯曲的组合
 - 拉伸或压缩与扭转的组合
 - 弯曲与扭转的组合
 - 其他组合

斜弯曲

- 单向应力状态，正应力

矩形截面

- 中性轴与载荷作用平面不互相垂直，最大应力在距离中性轴最远的点。
- 挠曲线与载荷作用平面不共面，但挠曲线平面与中性层仍然相互垂直。

圆截面

- $\alpha = \beta = \varphi$

- 可以简化为平面弯曲。
- 合成外力/合成内力

拉压与弯曲

- 单向应力状态，正应力
- 拉伸 + 弯曲（向压缩区移动）
- 压缩 + 弯曲（向拉伸区移动）

偏心拉压

- 向轴线上转移

弯曲与扭转

- 二向应力状态，正应力与切应力
- 圆截面的弯扭组合变形

$$\sigma_{r3} = \sqrt{\sigma^2 + 4\tau^2} = \frac{\sqrt{M_z^2 + T^2}}{W_z}$$

$$\sigma_{r4} = \sqrt{\sigma^2 + 3\tau^2} = \frac{\sqrt{M_z^2 + 0.75T^2}}{W_z}$$

第10章 能量法计算位移

外力功与变形能

- 外力功：载荷在其相应位移上作的功。
- 变形能：不计能量损失，外力功将以能量的形式储存于弹性体中，称为弹性变形能。
- 功能原理：外力功全部转化为杆件的变形能

$$U = W$$

- 研究对象为线弹性系统，材料需符合胡克定律，载荷与变形、应力与应变均为线性关系。

轴向拉伸或压缩

$$U = W = \frac{1}{2} F_N \Delta l$$

若杆的轴力和截面不变化

$$\Delta l = \frac{F_N l}{EA}$$

若杆的轴力和截面变化

$$U = \int_l \frac{F_N^2(x)dx}{2EA(x)}$$

扭转

$$U = W = \frac{1}{2}T\varphi$$

$$U = \frac{T^2l}{2GI_p}$$

$$U = \int_l \frac{T^2(x)dx}{2GI_p(x)}$$

弯曲

$$U = W = \frac{1}{2}M\theta$$

$$U = \frac{M^2l}{2EI}$$

$$U = \int_l \frac{M^2(x)dx}{2EI(x)}$$

广义力与广义位移

广义力	广义位移
集中力	力作用点沿力方向的线位移
集中力偶	力偶作用面沿力偶方向的转角
一对等值反向的集中力	两力作用点的相对位移
一对等值反向的力偶	两力偶作用面的相对转角

变形能的基本性质

- 1. 变形能只与构件受力和变形的最终状态有关，与加载顺序无关。
- 2. 引起同一种基本变形的数个载荷在杆内所产生的变形能，不等于各个载荷分别作用所产生变形能的叠加。（不满足叠加原理）（多一项附加功）
- 3. 当杆内有两种或两种以上的基本变形时，总变形能等于各个基本变形的变形能之和。

功能原理

局限于只作用一个广义力，且所求位移为该广义力所对应的广义位移的简单情况。

单位载荷法

$$\Delta_i = \int_l \frac{M(x)M^0(x)dx}{EI} + \int_l \frac{F_N(x) + F_N^0(x)dx}{EA} + \int_l \frac{T(x) + T^0(x)dx}{GI_p}$$

式中， $M(x)$ 为原载荷产生的弯矩， $M^0(x)$ 为构造单位载荷产生的弯矩。

- 求什么加什么载荷。

图形互乘法

- $$\Delta = \int_l \frac{M(x)M^0(x)}{EI} dx = \frac{1}{EI} (kS_M + a\omega_M) = \frac{1}{EI} (k\omega_M x_C + a\omega_M) = \frac{\omega_M}{EI} M_C^0$$

式中， S_M 为静矩， ω_M 为面积， M_C^0 为弯矩图的形心对应 M^0 图中的弯矩。

1. 适用于等截面直杆、桁架或刚架，曲杆不适用。
2. 原载荷弯矩图尽可能简单。
3. 多个载荷时可采用叠加法。
4. 两个弯矩图应采用相同的符号规则。
5. 特别注意弯矩图的正负。

互等定理

$$F_1 \Delta_{12} = F_2 \Delta_{21}$$

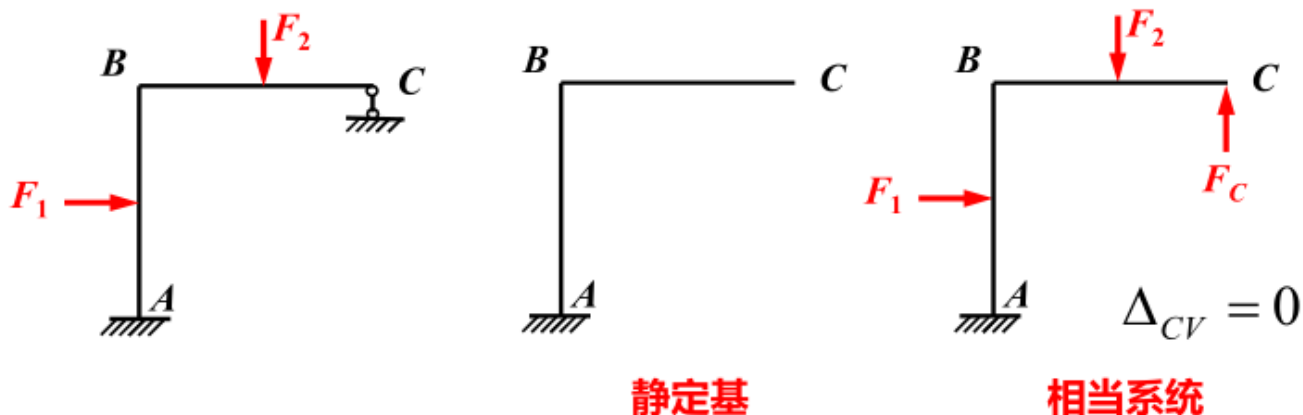
位移互等定理

$$\Delta_{12} = \Delta_{21} (F_1 = F_2 \text{时})$$

第11章 超静定系统

静定基与相当系统

- 静定基：解除多余约束后，得到的静定基本系统。
- 相当系统：在静定基上施加原载荷和多余约束力（未知），考虑变形协调条件，得到与原超静定结构完全等效的静定系统。



1. 静定基或相当系统不是唯一的。
2. 静定基解除的约束必须是多余的。

分类 { 外力超静定
内力超静定
混合超静定

超静定次数的判断

- 超静定次数 = 未知力的个数 - 独立平衡方程数
- 外力超静定 = 约束力个数 - 独立平衡方程数
- 内力超静定：桁架 (b个杆, c个节点) $n = b - 2c + 3$
刚架：一个封闭刚架为三次超静定；增加一个铰链，减少一次超静定；增加一个铰接杆，增加一次超静定。

力法正则方程

- 以多余约束力作为未知量，通过变形协调条件建立补充方程，求解超静定问题的方法，称为力法。

$$\begin{bmatrix} \delta_{11} & \delta_{12} & \cdots & \delta_{1n} \\ \delta_{21} & \delta_{22} & \cdots & \delta_{2n} \\ \vdots & \vdots & & \vdots \\ \delta_{n1} & \delta_{n2} & \cdots & \delta_{nn} \end{bmatrix} \begin{bmatrix} X_1 \\ X_2 \\ \vdots \\ X_n \end{bmatrix} + \begin{bmatrix} \Delta_{1F} \\ \Delta_{2F} \\ \vdots \\ \Delta_{nF} \end{bmatrix} = \begin{bmatrix} \Delta_1 \\ \Delta_2 \\ \vdots \\ \Delta_n \end{bmatrix}$$

- 根据位移互等定理知 $[\delta]$ 为对称矩阵。

1. 判断超静定类型、超静定次数。
2. 解除多余约束，代之以多余约束力 F_{Xi} ，建立静定基和相当系统。
3. 用广义单位力替代各多余约束力 F_{Xi} ，将原载荷、广义单位力均单独作用在静定基上。
4. 考虑变形协调条件（在解除约束处），建立正则方程。

5. 利用能量法计算正则方程中的系数 δ_{ij} 和 Δ_{iF} 。
6. 联立正则方程求解，求出各多余约束力 F_{Xi} 。
7. 在相当系统上，求出其他约束，进而可以求出内力并作内力图，求解强度（应力）和刚度（变形）问题。

结构的对称性及其利用

- 对称结构承受正对称载荷时的特性
 1. 变形、内力、约束力均正对称
 2. 轴力图、弯矩图正对称，剪力图反对称
 3. 在对称轴通过的截面上，剪力 F_s 为零，而弯矩 M ，轴力 F_N 均不为零
 4. 在对称轴通过的截面上，垂直于对称轴的线位移为零，转角为零，沿着对称轴的线位移不为零
 5. 故超静定结构沿其对称轴将结构切开，可将超静定问题的阶数降低一阶
- 对称结构承受反对称载荷时的特性
 1. 变形、内力、约束力均反对称
 2. 轴力图、弯矩图反对称，剪力图正对称
 3. 在对称轴通过的截面上，弯矩 M ，轴力 F_N 均为零，而剪力 F_s 不为零
 4. 在对称轴通过的截面上，沿着对称轴的线位移为零，垂直于对称轴的线位移不为零，转角不为零
 5. 故超静定结构沿其对称轴将结构切开，可将超静定问题的阶数降低两阶

第12章 动载荷

概述

- 静载荷：载荷由零缓慢增加，到达某值后保持不变。
- 动载荷：引起构件加速度的载荷或冲击载荷。
- 动变形和动应力：在动载荷下产生的变形和应力。
- 惯性力问题：已知加速度
- 冲击问题：未知加速度（能量守恒）
- 疲劳问题：持续变化的载荷作用
- 振动问题：（不涉及）
- 基本假设：
 1. 动载荷作用下应力应变仍保持线性关系。
 2. 能量守恒。

惯性力问题

直线加速

静内力

$$F_N = Q$$

静应力

$$\sigma_{st} = \frac{F_N}{A} = \frac{Q}{A}$$

静变形

$$\Delta_{st} = \frac{F_N l}{EA} = \frac{Ql}{EA}$$

动内力

$$F_{Nd} = Q + ma = (1 + a/g)Q = K_d F_N$$

动应力

$$\sigma_d = \frac{F_{Nd}}{A} = \left(1 + \frac{a}{g}\right) \frac{Q}{A} = K_d \sigma_{st}$$

动变形

$$\Delta_d = \frac{F_{Nd} l}{EA} = \frac{(1 + a/g)Ql}{EA} = K_d \Delta_{st}$$

式中, $K_d = 1 + a/g$ 为动荷因数。

匀角速转动

离心惯性力

$$dF_d = dm \cdot a_n = \frac{A\gamma ds}{g} \cdot \frac{D\omega^2}{2}$$

离心惯性力集度

$$q_d = \frac{dF_d}{ds} = \frac{A\gamma D\omega^2}{2g}$$

动内力

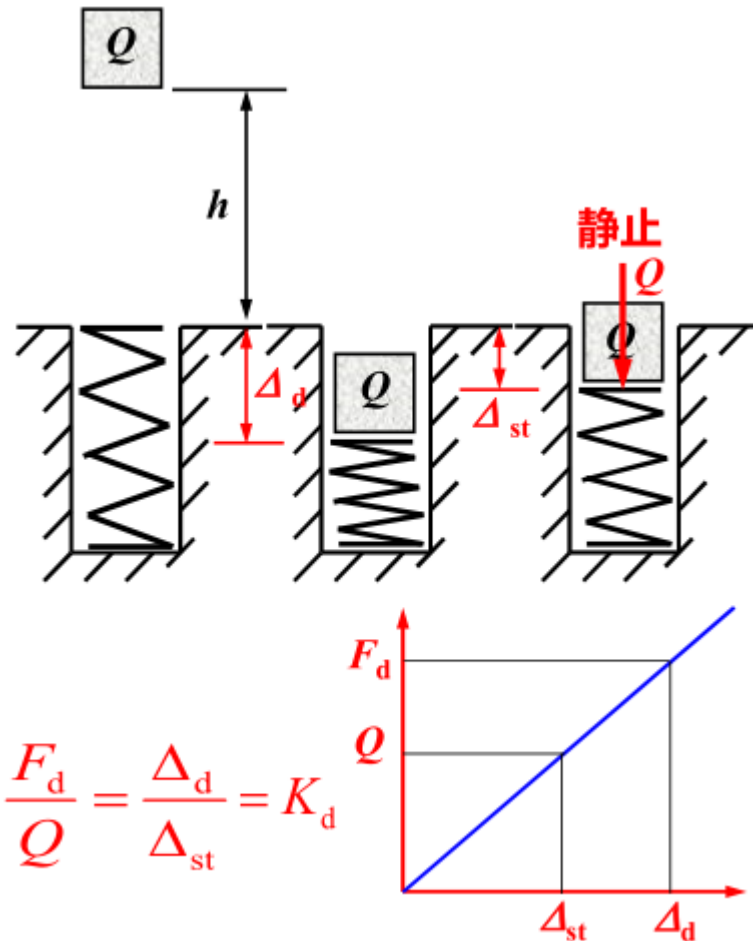
$$F_{Nd} = \frac{q_d D}{2} = \frac{A\gamma D^2 \omega^2}{4g}$$

动应力

$$\sigma_d = \frac{F_{Nd}}{A} = \frac{\gamma D^2 \omega^2}{4g} = \frac{\gamma v^2}{g}$$

- 轮缘横截面上的应力与轮缘轴线上各点的线速度 v 及材料比重有关，与横截面面积无关。
- 为了保证轮缘的强度，对轮缘的转速应有一定的限制，增加横截面面积并不能提高飞轮的强度。

冲击应力与变形



- 冲击：运动物体与静止物体之间的相互作用。
- 运动的物体称为冲击物，静止的物体称为被冲击物。
- 冲击物给被冲击物作用一个惯性力，当冲击物的速度减为零时，该惯性力达到最大 F_d ，被冲击物的变形 Δ_d 也达到最大，被冲击物处在最危险状态。
- 简化假设
 1. 冲击过程中，被冲击物的变形始终处于线弹性范围之内。
 2. 冲击物为刚性，冲击时冲击物的变形及变形能不计。
 3. 支撑被冲击物的支座和基础不变形，不运动，也不吸收能量。
 4. 冲击物的质量远远大于被冲击物的质量，被冲击物的势能变化忽略不计。

5. 冲击过程其它的能量损失不计。

自由落体冲击

$$\Delta T + \Delta V = \Delta U$$

冲击物动能与势能的减少量之和等于被冲击物变形能增加量

$$\Delta T = 0$$

$$\Delta V = Q(h + \Delta_d) = Q(h + K_d \Delta_{st})$$

$$\Delta U = \frac{1}{2} F_d \Delta_d = \frac{1}{2} K_d^2 Q \Delta_{st}$$

解得

$$K_d = 1 + \sqrt{1 + \frac{2h}{\Delta_{st}}}$$

- 公式适用于任何自由落体线性系统。
- 整个系统只有一个动荷因数，动荷因数只通过冲击点的静变形计算得到。
- 若还有初速度 v_0

$$K_d = 1 + \sqrt{1 + \frac{V_0 + T_0}{U_{st}}} = 1 + \sqrt{1 + \frac{2gh + v_0^2}{g\Delta_{st}}}$$

- 若只有初速度 v_0

$$K_d = 1 + \sqrt{1 + \frac{v_0^2}{g\Delta_{st}}}$$

- 若 $h \gg \Delta_{st}$

$$K_d = \sqrt{\frac{2h}{\Delta_{st}}}$$

水平冲击

$$\Delta T = \frac{Q}{2g} v^2$$

$$\Delta V = 0$$

$$\Delta U = \frac{1}{2} P_d \Delta_d = \frac{1}{2} K_d^2 Q \Delta_{st}$$

$$K_d = \frac{v}{\sqrt{g\Delta_{st}}}$$

- 适用于任何水平冲击线性系统。

冲击载荷下的强度条件

$$(\sigma_d)_{max} = K_d(\sigma_{st})_{max} \leq [\sigma]$$

$$(\tau_d)_{max} = K_d(\tau_{st})_{max} \leq [\tau]$$

- 只适用于承受冲击载荷作用的光滑构件。

冲击载荷下的刚度条件

$$(\Delta_d)_{max} = K_d(\Delta_{st})_{max} \leq [\Delta]$$

- 求解步骤
 1. 确定动荷因数计算公式：自由落体冲击或水平冲击或其他
 2. 计算冲击点沿冲击方向的静变形（若为超静定结构，先建立静定基，求多余约束），最终确定动荷因数
 3. 计算静载荷下的静内力、静应力、静变形
 4. 相应与动荷因数相乘，得到动载荷下的动内力、动应力、动变形
 5. 动载荷下的强度或刚度计算。

第13章 疲劳强度

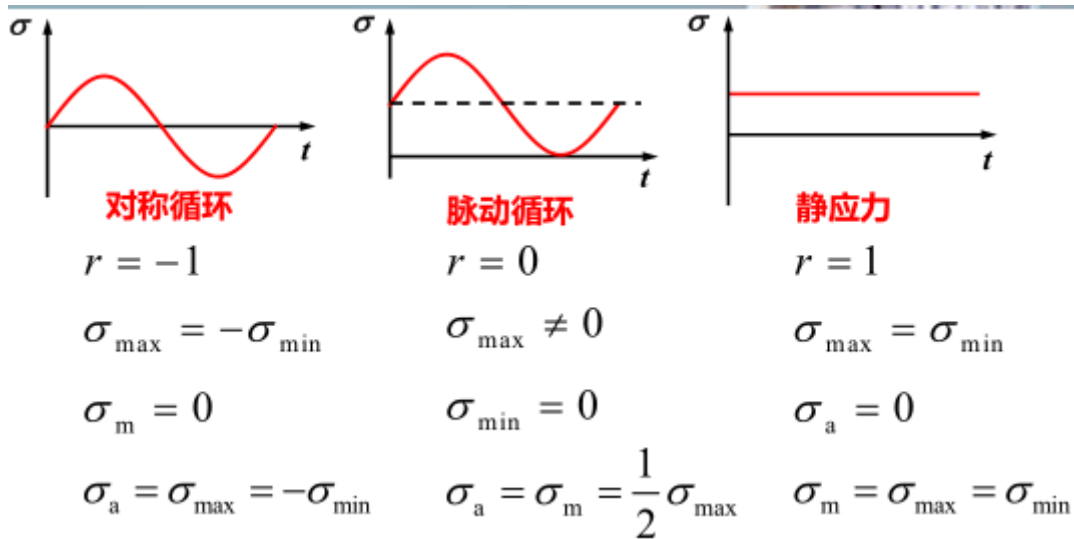
疲劳破坏的概念

- 交变载荷：随时间作周期性交替变化的载荷
- 交变应力：随时间作周期性交替变化的应力
- 应力循环：交变应力重复变化一次的过程
- 疲劳破坏：构件在交变应力下的破坏
- 疲劳强度：构件抵抗疲劳破坏的能力
- 疲劳破坏的主要特点：
 1. 疲劳强度远小于材料的强度极限，甚至小于屈服极限
 2. 疲劳破坏是一个损伤积累的过程，要经历一定次数的应力循环
 3. 无论塑性材料还是脆性材料，疲劳破坏时都发生脆性断裂，无明显塑性变形，所以危害极大
 4. 疲劳断口具有明显特征，有光滑区和粗糙区两个区域
- 疲劳破坏分三个阶段

1. 裂纹萌生阶段
2. 裂纹扩展阶段
3. 脆性断裂阶段

交变应力及其循环特征

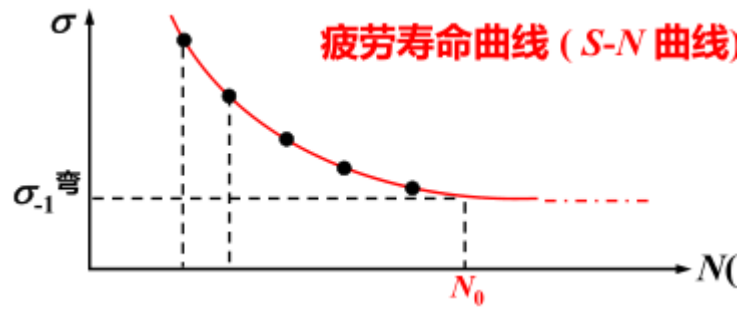
- 最大应力 σ_{max}
- 最小应力 σ_{min}
- 平均应力 $\sigma_m = (\sigma_{max} + \sigma_{min})/2$
- 应力幅 $\sigma_a = (\sigma_{max} - \sigma_{min})/2$
- 循环特征 $r = \sigma_{min}/\sigma_{max}$



- 对称循环是交变应力中最危险的一种工况。
- 非对称循环可以看作是静应力与对称循环的叠加。
- 应力幅不随时间发生改变的交变应力称为等幅交变应力，反之称为变幅交变应力。

材料的疲劳极限

- 材料的持久极限（或疲劳极限）：材料可以经受无限次应力循环而不发生疲劳破坏的最高应力值。
- 当工作应力小于持久极限时，该材料不会发生疲劳破坏。
- 材料的持久极限通过疲劳试验来确定。
- 设备：旋转弯曲疲劳试验机
- 试件：标准光滑小试件



- 循环基数: $N_0 = 10^7$

对称循环下构件的疲劳极限

- 构件的疲劳强度不仅与材料相关，而且与构件的结构相关。
- 一般情况下，构件的持久极限低于材料的持久极限。
- 影响构件持久极限的基本因素

1. 应力集中
2. 构件尺寸
3. 表面质量

- 若为对称循环

$$\sigma_{-1}^{\text{构}} = \frac{\epsilon_{\sigma} \beta}{K_{\sigma}} \sigma_{-1}$$

式中， σ_{-1} 为材料的持久极限； K_{σ} 为有效应力集中因数； β 为表面质量因数； ϵ_{σ} 为尺寸因数。

非对称循环下构件的疲劳极限

- 若为非对称循环

$$\sigma_r^{\text{构}} = \frac{\sigma_{-1}}{\frac{K_{\sigma}}{\epsilon_{\sigma} \beta} \sigma_a + \psi_{\sigma} \sigma_m} (\sigma_a + \sigma_m)$$

式中， ψ_{σ} 与材料有关，称为敏感因数。

构件的疲劳强度条件

- 若为对称循环

$$\sigma_a \leq [\sigma_{-1}^{\text{构}}] = \frac{\sigma_{-1}^{\text{构}}}{[n]}$$

$$n_{\sigma} = \frac{\sigma_{-1}^{\text{构}}}{\sigma_a} = \frac{\sigma_{-1}}{\frac{K_{\sigma}}{\epsilon_{\sigma}\beta}\sigma_a} \geq [n]$$

- 若为非对称循环

$$\sigma_a + \sigma_m \leq [\sigma_r^{\text{构}}] = \frac{\sigma_r^{\text{构}}}{[r]}$$

$$n_{\sigma} = \frac{\sigma_{-1}}{\frac{K_{\sigma}}{\epsilon_{\sigma}\beta}\sigma_a + \psi_{\sigma}\sigma_m} \geq [n]$$

- 脆性材料在交变载荷作用下，易发生疲劳破坏，故主要考虑疲劳强度条件；塑性材料较复杂，需综合考虑：
1. 当 $r < 0$ ，构件破坏形式一般为疲劳破坏；
 2. 当 $0 < r < 1$ ，构件破坏形式可能为屈服破坏，或可能为疲劳破坏，故应同时校核屈服和疲劳强度；
 3. 当 $\sigma_a \ll \sigma_m$ 或 r 接近 1 时，构件发生的是屈服破坏，故应校核屈服强度。
 4. 若为弯扭组合疲劳

$$n_{\sigma\tau} = \frac{n_{\sigma}n_{\tau}}{\sqrt{n_{\sigma}^2 + n_{\tau}^2}} \geq [n]$$

构件的疲劳寿命估算简介

- 通过疲劳损伤理论，可以对构件进行有限寿命设计。
- 损伤：在有效载荷作用下，材料产生的破坏程度。
- 疲劳损伤理论：当材料承受高于疲劳极限的交变应力时，每一次应力循环都会使材料产生一定量的损伤，当损伤积累到一定程度，达到某一临界值，构件将产生疲劳破坏。
- 变幅交变应力：应力幅值随时间发生变化。
- 线性累积损伤理论：
一个应力循环造成的损伤

$$D = \frac{1}{N_i}$$

n_i 个应力循环造成的损伤

$$D = \frac{n_i}{N_i} (\text{等幅})$$

$$D = \sum_{i=1}^k \frac{n_i}{N_i} (\text{变幅})$$

失效时的临界损伤

$$D_{cr} = 1$$

提高构件疲劳强度的措施

1. 合理设计构件形状，减少应力集中
2. 提高表面质量，降低表层应力集中系数
3. 合理选择材料，避免使用脆性材料

第14章 压杆的稳定性

- 稳定平衡：当撤去干扰力后，圆球总会自动回到原来的平衡位置。
- 不稳定平衡：只要受到侧向微小推力，圆球就会偏离原来的平衡位置。
- 临界平衡：圆球受到侧向微小推力，仍可保持平衡，但不能自动恢复原有的平衡状态。
- 丧失稳定性：压杆不能保持其初始的直线平衡状态。
- 压杆由稳定平衡过渡到不稳定平衡时，轴向压力的临界值称为临界力或临界载荷，用 F_{cr} 表示。
- 拉杆不会失稳。

细长压杆的临界力

两端铰支细长压杆的临界力

$$\nu'' + k^2 \nu = 0$$

式中， $k^2 = F/EI$ ，通解为

$$\nu = C_1 \sin kx + C_2 \cos kx$$

代入边界条件得

$$C_2 = 0, \sin kl = 0$$

$$k = \frac{n\pi}{l} (n = 0, 1, 2, \dots)$$

欧拉公式

$$F_{cr} = \frac{\pi^2 EI}{l^2}$$

一端固定、一端自由的压杆临界力

$$\nu'' + \frac{F_{cr}}{EI} \nu = \frac{F_{cr}}{EI} \Delta$$

通解为

$$\nu = C_1 \sin \sqrt{\frac{F_{cr}}{EI}} x + C_2 \cos \sqrt{\frac{F_{cr}}{EI}} x + \Delta$$

代入边界条件得

$$F_{cr} = \frac{\pi^2 EI}{(2l)^2}$$

- 可以将欧拉公式进一步推广

$$F_{cr} = \frac{\pi^2 EI}{(\mu l)^2}$$

式中， μ 为长度因数， μl 为相当长度。当一端固定一端自由时为2，两端铰支时为1，一端固定一端铰支时为0.7，两端固定时为0.5。

压杆的临界应力

细长压杆的临界应力

$$\sigma_{cr} = \frac{F_{cr}}{A} = \frac{\pi^2 EI}{(\mu l)^2 A} = \frac{\pi^2 E}{\lambda^2}$$

式中， $\lambda = \mu l / i$ 为压杆的柔度， $i = \sqrt{I/A}$ 为惯性半径。

1. 柔度越大，临界压力越小，压杆越容易失稳。
2. 在计算临界应力时，压杆总是在最容易发生弯曲的方向上失稳，故轴惯矩应取最小值，柔度应取最大值。

欧拉公式的适用范围

$$M(x) = EI \nu''(x)$$

材料必须处在线弹性范围内。

$$\sigma_{cr} = \frac{\pi^2 E}{\lambda^2} \leq \sigma_p$$

$$\lambda \geq \sqrt{\frac{\pi^2 E}{\sigma_p}} = \lambda_p$$

将 $\lambda \geq \lambda_p$ 的压杆称为细长杆。

- 只有细长杆才能使用欧拉公式来计算临界力和临界应力。

经验公式

- 当 $\lambda < \lambda_p$ 时,

$$\sigma_{cr} = a - b\lambda$$

(a 、 b 为材料常数)

- 适用条件: $\sigma_p \leq \sigma_{cr} = a - b\lambda \leq \sigma_s$
- 中长杆

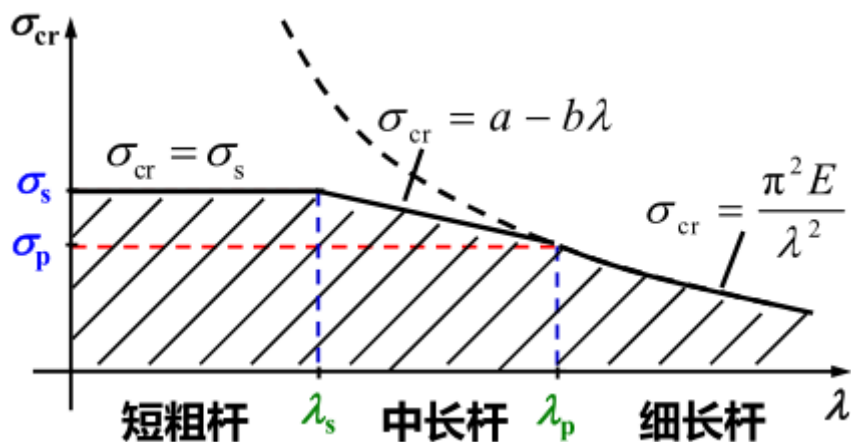
$$\lambda_s \leq \lambda \leq \lambda_p = \sqrt{\frac{\pi^2 E}{\sigma_p}}$$

$$\lambda_s = \frac{a - \sigma_s}{b}$$

- 中长杆使用直线公式来计算临界应力。
- 将 $\lambda < \lambda_s$ 的杆称为短粗杆

$$\sigma_{cr} = \sigma_s$$

- 临界应力总图



- 注意: 临界压力是压杆的固有属性, 与外载荷无关!

柱状铰链

压杆的稳定性校核

安全因数法

$$|\sigma| \leq \frac{\sigma_{cr}}{[n_{st}]}$$

$$|F_N| \leq \frac{F_{cr}}{[n_{st}]}$$

$$n_{st} = \frac{F_{cr}}{|F_N|} = \frac{\sigma_{cr}}{|\sigma|} \geq [n_{st}]$$

上式, $[n_{st}]$ 规定稳定安全因数, n_{st} 实际稳定安全因数。

折减系数法

$$\frac{\sigma_{cr}}{[n_{st}]} = [\sigma_{st}]$$

$$[\sigma_{st}] = \varphi[\sigma]$$

$$\sigma = \frac{F}{A} \leq \varphi[\sigma]$$

式中, φ 为折减系数, 与压杆柔度 λ 和材料有关。

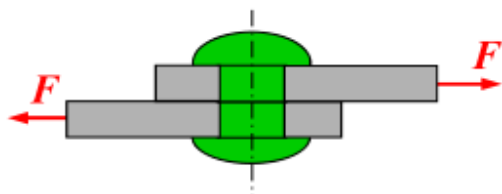
提高压杆稳定性的措施

- 改善支座形式, 增加压杆的约束, 减小长度因数 μ 。
- 缩短压杆长度, 或增加中间支座。
- 合理选择截面形状, 增大惯性半径。
- 采用等稳定性结构。
- 改变结构布局, 或者变压杆为拉杆。
- 选择合理的材料。细长杆选高弹性模量材料, 中长杆选高强度材料。

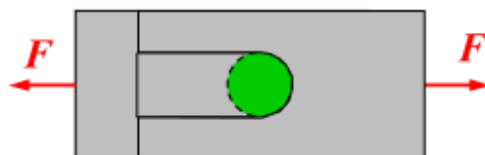
第15章 连接件的强度

连接件的实用算法

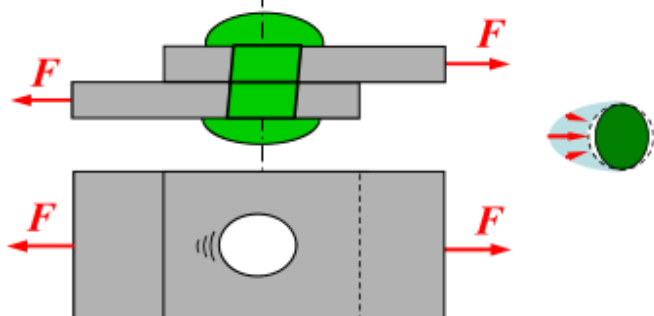
(1) 铆钉的剪切破坏



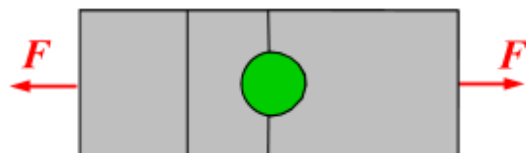
或：连接板的剪切破坏



(2) 铆钉、铆钉孔的挤压破坏



(3) 连接板的拉断



铆钉（或连接板）的剪切破坏

受力特点：外力垂直于轴线，等值反向，相距较近。

变形特点：截面沿外力的方向产生相对错动。

实用计算方法：由于剪力在截面上分布复杂，精确的切应力很难得到，因此假设剪力在截面上均匀分布。

名义切应力公式

$$\tau = \frac{F_s}{A_s}$$

名义极限切应力

$$\tau^0 = \frac{F_s^0}{A_s}$$

名义许用切应力

$$[\tau] = \frac{\tau^0}{n}$$

剪切强度条件

$$\tau = \frac{F_s}{A_s} \leq [\tau]$$

1. 正确确定剪力（受力平衡）
2. 正确确定剪切面（与外力平行）

铆钉、铆钉孔的挤压破坏

连接件在发生剪切作用的同时，一般都伴随挤压作用。

假设挤压力在挤压面上均匀分布。（挤压面取直径面，即计算挤压面）

$$\sigma_{bs} = \frac{F_{bs}}{A_{bs}} \leq [\sigma_{bs}]$$

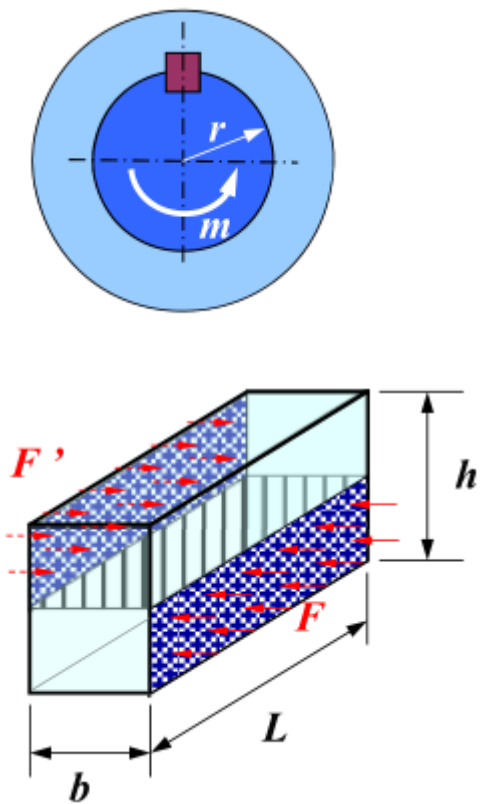
连接板的拉断

忽略孔边的应力集中现象，并假设轴向拉力在净面积上均匀分布。

$$\sigma = \frac{F_N}{A_{\text{净}}} \leq [\sigma]$$

实用算法应用

键的强度计算



外力

$$F = F' = \frac{m}{r}$$

剪切强度

剪力

$$F_s = F = \frac{m}{r}$$

剪切面面积

$$A_s = bL$$

剪切强度

$$\tau = \frac{F_s}{A_s} = \frac{m}{rbL} \leq [\tau]$$

挤压强度

挤压力

$$F_{bs} = F = \frac{m}{r}$$

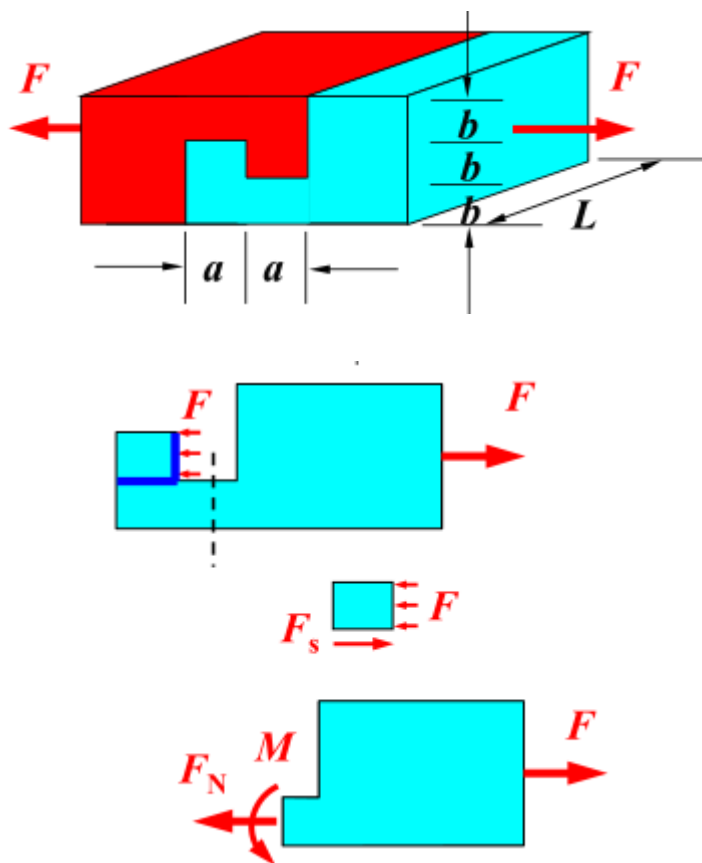
挤压面面积

$$A_{bs} = \frac{Lh}{2}$$

挤压强度

$$\sigma_{bs} = \frac{F_{bs}}{A_{bs}} = \frac{2m}{rhL} \leq [\sigma_{bs}]$$

木榫结构的强度计算



剪切强度

剪力

$$F_s = F$$

剪切面面积

$$A_s = aL$$

剪切强度条件

$$\tau = \frac{F_s}{A_s} = \frac{F}{aL} \leq [\tau]$$

挤压强度

挤压力

$$F_{bs} = F$$

挤压面面积

$$A_{bs} = bL$$

挤压强度条件

$$\sigma_{bs} = \frac{F_{bs}}{A_{bs}} = \frac{F}{bL} \leq [\sigma_{bs}]$$

拉伸+弯曲强度

轴力

$$F_N = F$$

弯矩

$$M = Fb$$

拉伸+弯曲强度条件

$$\sigma = \frac{F}{bL} + \frac{6Fb}{b^2L} \leq [\sigma]$$

附录A 截面图形的几何性质

静矩和形心

静矩定义：

$$S_z = \int_A ydA$$

$$S_y = \int_A zdA$$

性质 { 同一截面图形对不同坐标轴的静矩不同
静矩的数值可能为正，可能为负，也可能为零
其量纲为[长度³]

形心定义

$$y_C = \frac{S_z}{A}$$

$$z_C = \frac{S_y}{A}$$

性质 $\left\{ \begin{array}{l} \text{截面对某轴的静矩为零，则该轴必通过截面的形心} \\ \text{截面对通过其形心的坐标轴，静矩恒等于零} \end{array} \right.$

组合图形

$$y_C = \frac{S_z}{A} = \frac{\sum S_{zi}}{\sum A_i} = \frac{\sum A_i y_{Ci}}{\sum A_i}$$

$$z_C = \frac{S_y}{A} = \frac{\sum S_{yi}}{\sum A_i} = \frac{\sum A_i z_{Ci}}{\sum A_i}$$

惯性矩和惯性积

惯性矩定义

极惯性矩

$$I_p = \int_A \rho^2 dA$$

惯性矩

$$I_y = \int_A z^2 dA$$

$$I_z = \int_A y^2 dA$$

惯性积

$$I_{yz} = \int_A yz dA$$

平行移轴公式

$$I_y = I_{y_C} + b^2 A$$

$$I_z = I_{z_C} + a^2 A$$

$$I_{yz} = I_{y_C z_C} + abA$$

⚠ Warning

等式右边的惯性矩和惯性积均为对过形心的轴。

Summary

矩形：平行于轴的边长一次方，垂直于轴的边长三次方。

$$I_z = \frac{bh^3}{12}$$

或

$$I_z = \frac{hb^3}{12}$$

圆形：

$$I_y = I_z = \frac{1}{2} I_p = \frac{\pi d^4}{64}$$

半圆形：

$$I_z = \frac{1}{2} \frac{\pi d^4}{64} = \frac{\pi d^4}{128}$$

正六边形：对所有过形心轴的惯性矩相等。

转轴公式、主惯轴与主惯矩